

Elektrisk potensial

[TM 23; LHL 19.9]
[YF 23.2]

(75)

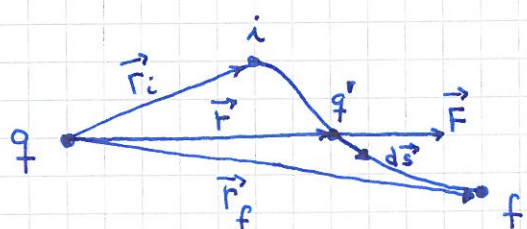
$$\text{Coulombkraften } \vec{F} = \frac{q q'}{4\pi\epsilon_0 r^2} \hat{r}$$



har samme form som tyngdekraften,

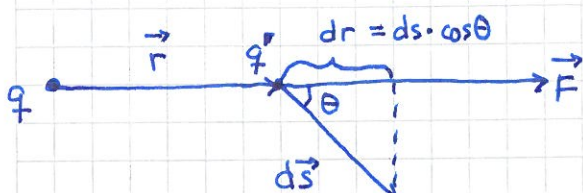
og er dermed konservativ, $\oint \vec{F} \cdot d\vec{s} = 0$ (se s. 19).

Potensiell energi for q' i det elektriske feltet fra q :



$$\Delta U = U_f - U_i = - \int_i^f \vec{F} \cdot d\vec{s} \quad (\text{s. 20})$$

= endring i pot. energi når q' flyttes fra i til f (q står fast)



$$\vec{F} \cdot d\vec{s} = F \cdot ds \cdot \cos\theta = F \cdot dr$$

$$\Rightarrow \Delta U = - \int_{r_i}^{r_f} \frac{q q'}{4\pi\epsilon_0 r^2} dr = \frac{q q'}{4\pi\epsilon_0 r_f} - \frac{q q'}{4\pi\epsilon_0 r_i} = U_f - U_i$$

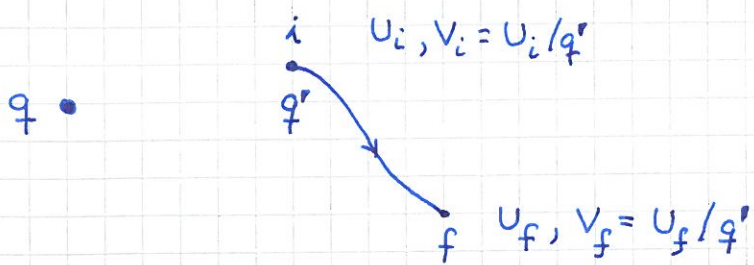
$$\text{Fra før: } \vec{E} \stackrel{\text{def}}{=} \vec{F}/q'$$

Tilsvarende defineres potensialet V :

$$V \stackrel{\text{def}}{=} U/q'$$

Dvs: elektrisk potensial V = pot. energi U pr ladningsenhet

SI-enhet: $[V] = [U/q] = J/C = V$ (volt)



$$\Delta V = V_f - V_i = \frac{U_f - U_i}{q'} = - \int_i^f \frac{\vec{E} \cdot d\vec{s}}{q'} = - \int_i^f \vec{E} \cdot d\vec{s}$$

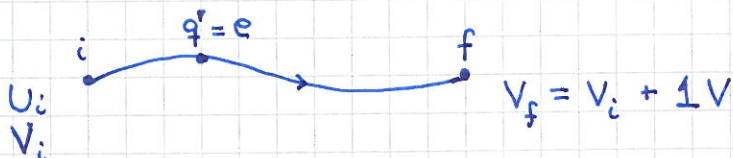
$\Delta V = - \int_i^f \vec{E} \cdot d\vec{s}$

= potensialforskjellen mellom i og f

⇒ Alternativ enhet for el. felt: $[E] = [\Delta V/ds] = \underline{V/m}$

Energienheten elektronvolt, eV: (Nyttig i fysikk.)

Se på elementærladning som flyttes fra i til f:



Endringen i pot. energi blir:

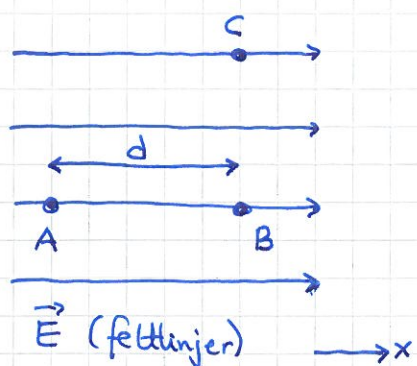
$$\Delta U = U_f - U_i = V_f \cdot e - V_i \cdot e = 1V \cdot e = \underline{1eV}$$

$$1eV = \underbrace{1.6 \cdot 10^{-19}}_e C \cdot 1 \underbrace{\frac{J}{C}}_{V \text{ (volt)}} = 1.6 \cdot 10^{-19} J$$

Eks: LHC ved CERN akseleerte i 2012 protoner opp til energi $4 \text{ TeV} = 4 \cdot 10^{12} \text{ eV}$, for å produsere Higgs-partikkelen. Protonets hastighet er da $v \approx c = 8 \text{ m/s}$!

[Der $c \approx 3 \cdot 10^8 \text{ m/s} = \text{lysets hastighet i vakuum}]$

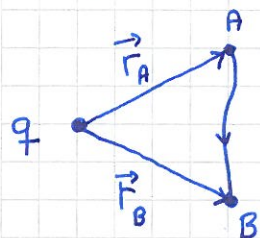
Eks: ΔV i uniformt E -felt



$$V_B - V_A = - \int_A^B \vec{E} \cdot d\vec{s} = -E \int_{x_A}^{x_B} dx = \underline{-E \cdot d}$$

$$V_C - V_B = - \int_B^C \vec{E} \cdot d\vec{s} = \underline{0} \quad (\text{da } \vec{E} \perp d\vec{s})$$

Eks: $V(r)$ for punktladning [TM 23.2; LHL 19.9] [YF 23.2]



Med q' (som flyttes fra A til B):

$$\Delta U = U_B - U_A = - \int_A^B \vec{F} \cdot d\vec{s} = \frac{qq'}{4\pi\epsilon_0 r_B} - \frac{qq'}{4\pi\epsilon_0 r_A}$$

$$\Rightarrow \Delta V = V_B - V_A = \frac{\Delta U}{q'} = \frac{q}{4\pi\epsilon_0 r_B} - \frac{q}{4\pi\epsilon_0 r_A}$$

(avhengig av q' , som ventet. Kjeldt!)

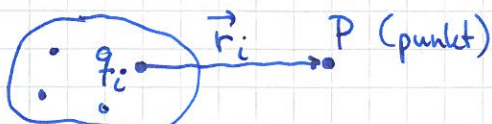
Velg "referansested" A ø langt borte: $r_A \rightarrow \infty \Rightarrow V_A \rightarrow 0$

Og sett $r_B = r$:

$$V(r) = \frac{q}{4\pi\epsilon_0 r}$$

Coulombpotensialet: Potensial i avstand r fra punktladning q

Generalisering til flere punktladninger, evt. kontinuerlig ladningsfordeling:



$$\begin{aligned} \text{Potensial i } P: V_P &= - \int_{\infty}^P \vec{E} \cdot d\vec{s} = - \int_{\infty}^P (\sum_i \vec{E}_i) \cdot d\vec{s} = \sum_i \left(- \int_{\infty}^P \vec{E}_i \cdot d\vec{s} \right) \\ &= \sum_i V_P^i = \sum_i \frac{q_i}{4\pi\epsilon_0 r_i} \end{aligned}$$

Kontinuerlig fordeling: $q_i \rightarrow \Delta q_i \rightarrow dq$; $\sum_i \rightarrow \int \Rightarrow$

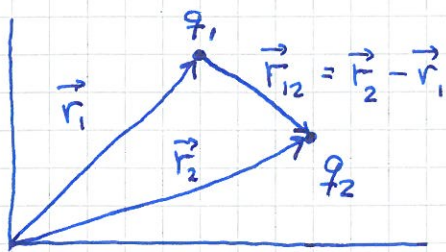
$$V(r) = \int \frac{dq}{4\pi\epsilon_0 r}$$

Potensiell energi for ladningssystem

[TM 23.6; LHL 19.9; 20.3]

(78)

[YF 23.1]



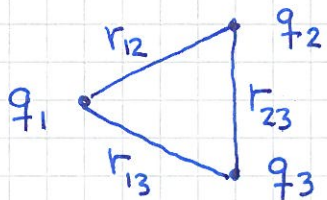
$$\text{Potensial fra } q_1 \text{ i } \vec{r}_2 : V_1(\vec{r}_2) = \frac{q_1}{4\pi\epsilon_0 r_{12}}$$

$$\text{— II — } q_2 \text{ i } \vec{r}_1 : V_2(\vec{r}_1) = \frac{q_2}{4\pi\epsilon_0 r_{12}}$$

$$\text{Pot. energi for ladningsparet : } U_{12} = q_2 V_1 = \frac{q_1 q_2}{4\pi\epsilon_0 r_{12}}$$

$$\text{evt: } \text{— II — } : U_{21} = q_1 V_2 = \frac{q_1 q_2}{4\pi\epsilon_0 r_{12}} = U_{12}$$

Hvis flere ladninger :



Ladningene vekselvirker parvis.

⇒ Total potensiell energi, relativert "referancesystemet"
der alle q_1, q_2, \dots, q_n er ø langt fra hverandre
(og dermed har null pot. energi) :

$$U = U_{12} + U_{13} + \dots + U_{1n} + U_{23} + \dots + U_{2n} + \dots + U_{m-1,n}$$

$$= \sum_{i < j} U_{ij} = \sum_{i < j} \frac{q_i q_j}{4\pi\epsilon_0 r_{ij}}$$

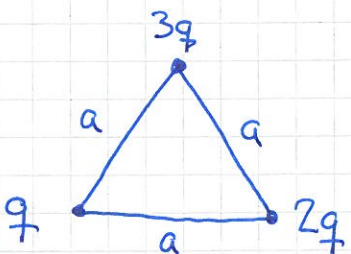
[Her betyr $\sum_{i < j}$ dobbeltsummen

$$\sum_{i=1}^n \sum_{\substack{j=1 \\ (j \neq i) \\ (j > i)}}^n$$

U for ladningssystem [TM 23.6; LHL 19.9, 20.3] [YF 23.1]

$$\text{Fra sist: } U = \sum_{i < j} U_{ij} = \sum_{i < j} \frac{q_i q_j}{4\pi \epsilon_0 r_{ij}}$$

Eks:



$$q = e, \quad a = 4 \text{ Å}$$

Finn U i J og eV.

$$\text{Løsn: } U = \frac{q^2}{4\pi \epsilon_0 a} \left\{ 1 \cdot 2 + 1 \cdot 3 + 2 \cdot 3 \right\} = \frac{11 q^2}{4\pi \epsilon_0 a}$$

$$= 9 \cdot 10^9 \cdot 11 \cdot (1.6 \cdot 10^{-19})^2 / 4 \cdot 10^{10} \quad J = \underline{\underline{6.3 \cdot 10^{-18} J}}$$

$$= \frac{6.3 \cdot 10^{-18} J}{1.6 \cdot 10^{-19} \cancel{J}/eV} \approx \underline{\underline{40 \text{ eV}}}$$

Beregning av \vec{E} fra V [TM 23.3; LHL 19.9] [YF 23.5]

$$V = V(\vec{r}) = V(x, y, z)$$

$$\Rightarrow dV = \frac{\partial V}{\partial x} dx + \frac{\partial V}{\partial y} dy + \frac{\partial V}{\partial z} dz$$

(et såkalt totalt differensial, se Matematikk 2)

Med

$$\nabla V = \hat{x} \frac{\partial V}{\partial x} + \hat{y} \frac{\partial V}{\partial y} + \hat{z} \frac{\partial V}{\partial z} = \text{gradienten til } V$$

$$og \quad d\vec{s} = \hat{x} dx + \hat{y} dy + \hat{z} dz = \text{veilementst}$$

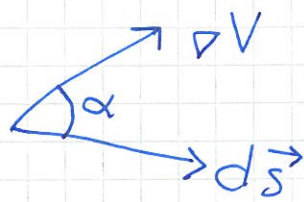
Kan vi skrive:

$$\boxed{\nabla V = \nabla V \cdot d\vec{s}}$$

Hva betyr ∇V ?

(80)

$$dV = |\nabla V| \cdot |d\vec{s}| \cdot \cos \alpha$$



\Rightarrow max verdi på dV når forflytningen er i en retning slik at $d\vec{s} \parallel \nabla V$ (dvs $\alpha=0$)

$\Rightarrow \nabla V$ er en vektor som peker i den retningen som V øker raskest.

Og absoluttverdien av ∇V er "hellingen", dvs "stigningstallet", dvs endringen i V pr lengdeenhet

$$\text{Fra før har vi: } dV = -\vec{E} \cdot d\vec{s}$$

Dermed må vi kunne skrive:

$$\boxed{\vec{E} = -\nabla V}$$

$$\text{Dvs: } E_x = -\partial V / \partial x \text{ etc.}$$

$$\text{Dermed: } \vec{F} = q' \vec{E} = -q' \nabla V = -\nabla U$$

$$(\text{siden } V = U/q')$$

Ekipotensialflater [TM 23.5; LHL 19.11] [YF 23.4] (81)

= flater med $V = \text{konst.}$ (eut. kurver med $V = \text{konst.}$)

Dvs: $dV = 0$

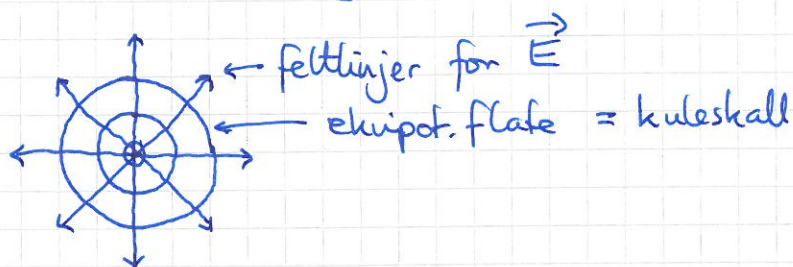
$$\downarrow$$
$$\vec{E} \cdot d\vec{s} = 0$$

$$\downarrow$$

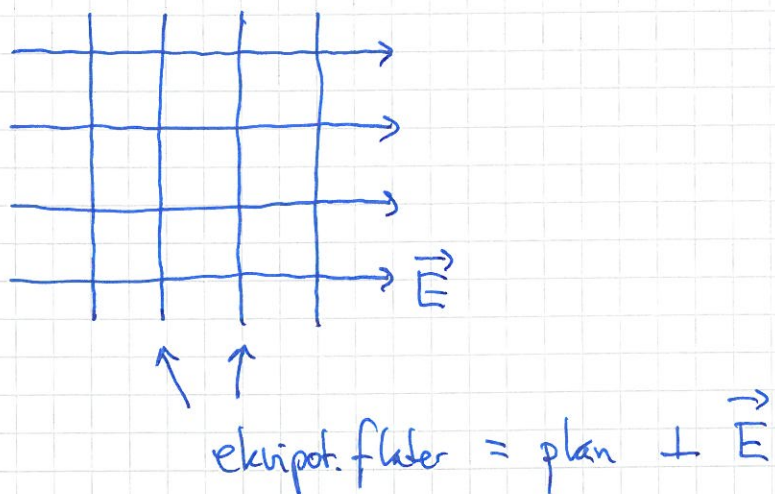
$\vec{E} \perp d\vec{s}$ når forflytningen $d\vec{s}$ foregår
på en ekipot. flate

$$\Rightarrow \boxed{\vec{E} \perp \text{ekipotensialflate}}$$

Eks 1: Punktladning

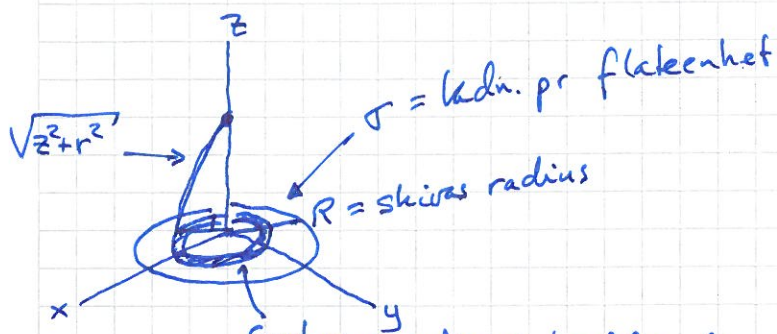


Eks 2: Uniformt \vec{E} -felt



Eks: $V(z)$ og $\vec{E}(z)$ på akseen til uniformt ledet skive
(Jf. øving 8)

(82)



$\sigma = \text{ladn. pr. flateenhet}$

$R = \text{skivas radius}$

Smal ring, radius r , bredde dr , areal $dA = 2\pi r \cdot dr$,
ledning $dq = \sigma dA = \sigma \cdot 2\pi r \cdot dr$, avstand $\sqrt{z^2 + r^2}$ til
punkt på z -aksen, bidrag $dV = dq / 4\pi \epsilon_0 \sqrt{z^2 + r^2}$ til
potensialet $V(z)$.

$$\Rightarrow V(z) = \int dV = \frac{\sigma}{2\epsilon_0} \int_0^R \frac{r dr}{\sqrt{r^2 + z^2}} = \frac{\sigma}{2\epsilon_0} \int_0^R \sqrt{r^2 + z^2}$$

$$= \frac{\sigma}{2\epsilon_0} \left\{ \sqrt{z^2 + R^2} - z \right\}$$

I grensen $z \ll R$ (dvs start plan): $\sqrt{z^2 + R^2} \approx R$

$$\Rightarrow V(z) \approx \frac{\sigma}{2\epsilon_0} (R - z)$$

$$\Rightarrow \vec{E}(z) \approx -\hat{z} \frac{\partial V}{\partial z} \approx \underline{\underline{\frac{\sigma}{2\epsilon_0} \hat{z}}} \quad (\text{som funnet i øving 8})$$

Materialers elektriske egenskaper

(83)

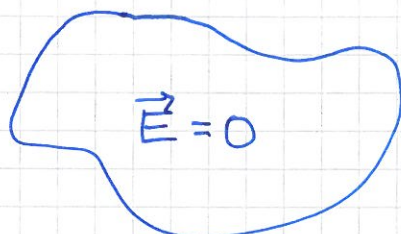
Metaller/Ledere: TM 21.2, 22.5; LHL 19.8 (YF 22.5)

Isolatorer/Dielektrika: TM 24.4, 24.5; LHL 20.5 (YF 24.4, 24.5)

Metaller/Ledere

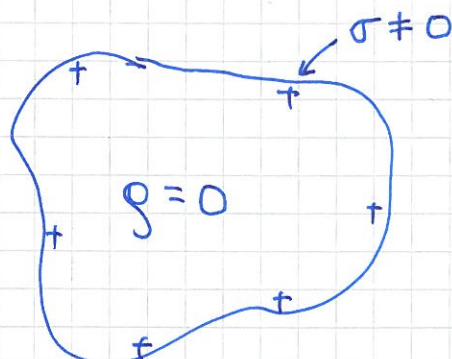
Har frie (mobile) ladninger som kan bevege seg i metallet hvis de utsættes for krefter.

Elektrostatiske egenskaper for metaller:



Inni metallet er $\vec{E} = 0$

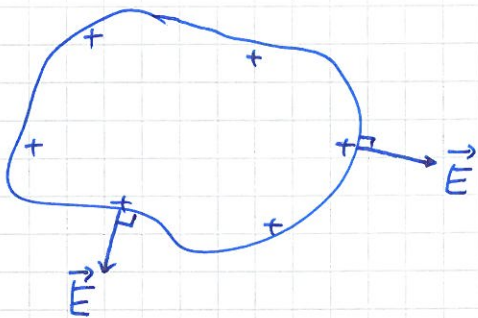
(Hvis ikke \vec{E} er lik null, er heller ikke kraften $\vec{F} = q \vec{E}$ lik null på en fri ladning q , og da har vi ikke likverkt !)



Hvis metallbitten har netto ladning, må all netto ladning ligge på overflaten.

(Forklaries ofte med at enhetladningene frastøter hverandre, og derfor velger σ å ligge på overflaten, "lengst mulig unna hverandre". Dette er bare delvis riktig! At ladningsletheten $g=0$ overalt inni metallet skyldes at $F \sim 1/r^2$ (og ikke $1/r^{1.5}$ e.l.))

På metalletts overflate er $\vec{E} \perp$ overflaten



(Hvis \vec{E} hadde komponent $E_{||}$ tangeriell til overflaten, ville $F_{||} \neq 0$ på frie ledninger på overflaten. Men da har vi ikke lenger likevekt, og ledninger ville flytte på seg, inntil $E_{||}=0$.)

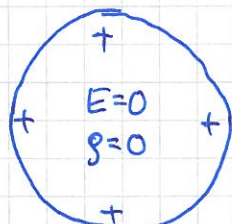
[Det kan vises at $|\vec{E}| = \sigma / \epsilon_0$ på metalletts overflate når den lokale ledning pr flateenhet er σ . Vi beniser ikke dette her.]

På og inni en metallbit er $V = \text{konstant}$, dvs en metallbit er et ekvipotensial i elektrostatisk likevekt.

($dV = -\vec{E} \cdot d\vec{s}$; inni er $\vec{E} = 0$, på overflaten er $\vec{E} \perp d\vec{s}$ når $d\vec{s}$ er "i overflaten". Uansett blir $dV = 0$, dvs $V = \text{konst.}$)

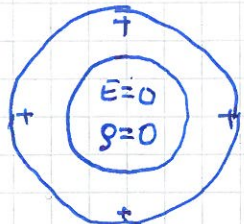
Leder med hulrom har $E = 0$ i hulrommet, og all netto ladning på ytre overflate.

Bewis:

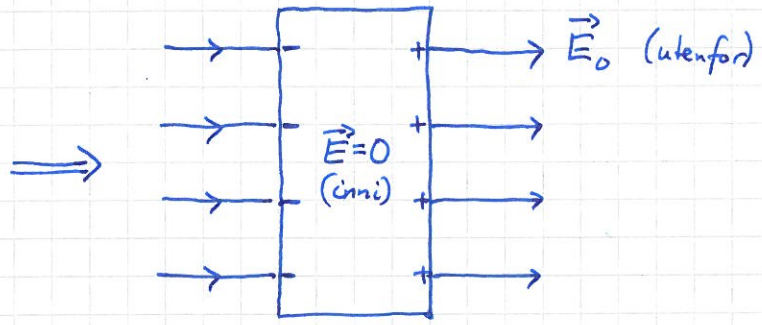
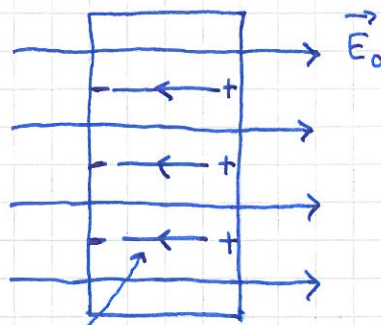


Kompakt metall

Ta bort
neutral bit
inni; gjør
da ingen endring
verken på E eller
 ρ



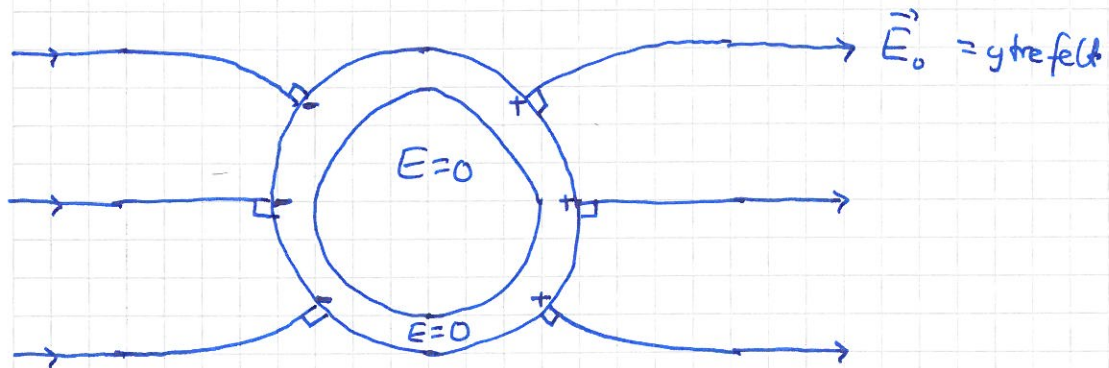
Leder i ytre felt \vec{E}_o :



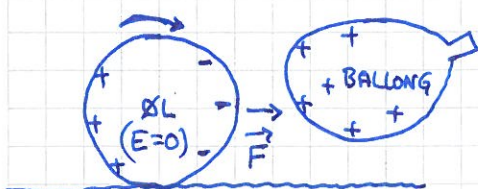
Feltinger for indusert felt
 $\vec{E}_{ind} = -\vec{E}_o$ inni
 lederen

$$\vec{E} = \vec{E}_o + \vec{E}_{ind} = 0 \text{ inni lederen}$$

Faradaybur: Leder med hulrom



Demo med ølboks (tom!) og ballong:



- Gør ballong og filfører den netto ladning.
- \vec{E} -feltet fra ladd ballong (ant. f.eks. pos. ladning) tiltrekker elektroner i metallet og induserer overfladeladning som vist i figuren.
- $E=0$ inni ølboksen (Faradaybur!)
- Korlest avstand fra pos. lad., på ballongen til negativ lad., på boksen
 \Rightarrow netto tiltrekning
 \Rightarrow boksen ruller mot høyre!